

Проблемы современной электродинамики. (Часть I)

Введение.

Современная электродинамика состоит из двух больших частей – статика и динамика. В статике все заряды неподвижны и мы можем фиксировать только те силы, которые между ними возникают. Силовое взаимодействие происходит и между движущимися зарядами, но здесь законы другие. Если имеет место движение, будь то движение зарядов или полей, возникает вопрос об относительности этих процессов, поскольку движение всегда относительно. При измерении полей движущихся зарядов или движущихся полей используются измерительные приборы, расположенные в какой-то инерциальной системе отсчёта (ИСО), принцип действия которых основан на измерении силы, действующей на пробный заряд. Вопрос о силовом взаимодействии движущихся зарядов и о его описании возник в самом начале становления электродинамики, и регулируется законом Ампера. Это закон является феноменологическим и это вполне понятно, т.к. в то время природа электричества была не ясна. Одним из первых, кто попытался установить законы взаимодействия между движущимися зарядами был Вильгельм Вебер, в 1846 г., он опубликовал свою формулу силы, известную как закон Вебера [1, 2]

$$F = \frac{gg'}{r^2} \left[1 + \frac{r}{c^2} \frac{d^2 r}{dt^2} - \frac{1}{2c^2} \left(\frac{dr}{dt} \right)^2 \right],$$

где g и g' движущиеся заряды разных знаков, r расстояние между зарядами, c скорость света.

Отправной точкой для написания этого закона послужил сформулированный в 1825 г. Ампером закон, описывающий силу взаимодействия двух проводников с током. Вебер считал, что электрический ток состоит из одинакового количества отрицательно и положительно заряженных частиц электричества, которые движутся в противоположных направлениях с одинаковой скоростью, причем частицы одинакового знака взаимно притягиваются, если движутся в одном и том же направлении, и отталкиваются, двигаясь в противоположных направлениях. Удивительным обстоятельством является то, что Вебер практически точно угадал последний член в указанном равенстве, если в качестве скорости взять её соответствующие компоненты.

Закон Вебера был подвергнут сильной критике со стороны Гельмгольца в 1847 г., утверждавшего, что он противоречит принципу сохранения энергии. Он считал потенциалы функциями одних лишь координат в соответствии с тем, как они рассматривались до Вебера. Вебер же пошел дальше и ввёл потенциал, зависящий от скорости:

$$\varphi = \frac{gg'}{r^2} \left[1 - \frac{1}{2c^2} \left(\frac{dr}{dt} \right)^2 \right]$$

Таким образом, он был первым, кто указал на зависимость скалярного потенциала заряда от его относительной скорости. Мы не будем рассматривать дальнейшую полемику по

этому вопросу, но можем сказать, что Вебер был прав и только консерватизм его оппонентов не позволил его идеям завоевать должное положенные в электродинамике. Позже Клаузиус [3] показал, что из закона Вебера следует тот факт, что со стороны проводника с током силы действуют и на покоящийся заряд. Утверждение Клаузиуса было поддержано и Лорбергом [4]. Сейчас мы знаем, что в виду малости скоросити зарядов в проводниках эти силы чрезвычайно малы, но скорость тока не поддавалась измерению вплоть до 1879 г., когда был открыт эффект Холла.

Таким образом, идеи Вебера намного опередили своё время, и не понятно, по какому пути пошла бы электродинамика, будь они приняты научным сообществом. Заметим, что даже до настоящего времени в фундаментальных трудах по электродинамике указание на наличие такой силы отсутствует. Одними из первых заявлений на необходимость учёта такой силы и экспериментальное её обнаружение проведено в работах [5-8], где было показано, что вокруг сверхпроводящего тора, ток в который вводится индукционным способом, возникает статическое электрическое поле. Такой эксперимент стал возможен только по той причине, что скорость носителей зарядов в сверхпроводниках может на несколько порядков превосходить скорость таких зарядов при протекании токов в нормальных металлах.

Мы привели только один небольшой эпизод, который показывает, сколь важны новые идеи в науке, и какое вредоносное значение имеет консерватизм и снобизм окружения. И этот случай не является исключением, и на протяжении дальнейшего рассмотрения мы ещё встретим не один такой пример.

1. Математика - рабочий инструмент электродинамики.

Векторный анализ является основным математическим аппаратом, используемым в электродинамике. Такие векторные величины, как сила, скорость, ускорение, электрическое поле и ток хорошо демонстрируют физический характер этих величин. Однако при использовании векторного анализа для описания физических процессов вводятся и такие вектора, которые не отражают физической сущности тех процессов, которые они описывают. Такие векторы будем называть векторами-фантомами. Приведём несколько примеров.

Если имеется диск, вращающийся с угловой скоростью ω , то этот процесс изображают в качестве вектора, который совпадает с осью вращения диска и опирается на его центр. Спрашивается, существует ли такой вектор на самом деле и что он представляет? Нет сомнения в том, что по договоренности такой вектор можно ввести, но какого-либо физического смысла, как, например, вектор скорости, он не имеет. Таким точно образом вводится вектор механического момента. Этот вектор тоже совпадает с осью вращения, опирается на центр плоскости вращения и равен произведению радиальной скорости на радиус. Подобным образом вводится и вектор магнитного дипольного момента, который для кругового тока равен произведению величины тока на площадь обтекаемого током круга. Этот вектор совпадает с осью вращения круга и опирается на его плоскость. Но какого-либо физического смысла эти вектора не имеют.

Вспомним, что такое вектор, представляющий ротор. Этот вектор вводится следующим образом

$$rot \vec{a} = \begin{pmatrix} \vec{i} & \vec{j} & \vec{k} \\ \frac{\partial}{\partial x} & \frac{\partial}{\partial y} & \frac{\partial}{\partial z} \\ a_x & a_y & a_z \end{pmatrix}$$

Чтобы выяснить геометрический смысл ротора рассмотрим твердое тело, которое вращается с угловой скоростью ω вокруг оси Z . Тогда линейная скорость тела v в точке (x, y, z) будет численно равна

$$v = \omega r = \omega \sqrt{x^2 + y^2},$$

а слагающие её по осям, для правовинтовой системы координат, будут равны

$$v_x = -\frac{vy}{\sqrt{x^2 + y^2}} = -\omega y,$$

$$v_y = -\frac{vx}{\sqrt{x^2 + y^2}} = -\omega x,$$

$$v_z = 0.$$

Слагающие вектора $rot v$ при этом определяются соотношениями:

$$rot_x v = rot_y v = 0$$

$$rot_z v = \frac{\partial v_y}{\partial x} - \frac{\partial v_x}{\partial y} = 2\omega$$

И снова получен вектор, направленный параллельно оси вращения и нормальный к плоскости вращения. Этот вектор тоже вводится по договорённости и какого-либо физического смысла не имеет.

Те же рассуждения можно распространить и на векторное произведение. Таким образом, при использовании векторного исчисления для описания физических явлений вводятся два класса векторов. Первый из них представляет реальные физические векторы, которые характеризуют саму физическую величину с учётом её величины и направления (например, вектора силы, скорости, ускорения, напряженности электрического поля и тока). Другая же категория векторов – это те вектора, которые можно представить с помощью операции ротора или векторного произведения. Эти физические векторы не представляют физические величины и вводятся по договорённости, являясь векторами-phantomами. Именно к вектору такого типа и относится магнитное поле.

Магнитное поле вводят или при помощи ротора электрического поля

$$\frac{\partial \vec{H}}{\partial t} = -\frac{1}{\mu} rot \vec{E},$$

или как ротор векторного потенциала

$$\vec{H} = rot \vec{A}_H.$$

Это означает, что магнитное поле не является физическим полем, а представляет некий векторный математический символ, который вводят по договорённости и физического смысла не имеет.

Что же происходит далее? При записи уравнений Максвелла ротор от магнитного поля приравнивают полному току

$$\operatorname{rot} \vec{H} = \operatorname{rot} \operatorname{rot} \vec{A} = \vec{j}_\Sigma$$

и получается так, что ротор от вектора, который вводят по договорённости, даёт реальный физический вектор. Таким образом, вектор магнитного поля представляет типичный вектор-фантом.

Можно привести и другой пример. Силу Лоренца, действующую на движущийся заряд, определяют векторным произведением реального вектора скорости и магнитного поля:

$$\vec{F} = \mu [\vec{v} \times \vec{H}]$$

Опять получается так, что операция векторного произведения, которая сама по себе физического смысла не имеет, действуя на вектор, не имеющий физического смысла, даёт реальную физическую силу с учётом её величины и направления. В этом и состоит смысл введения векторов фантомов в векторном исчислении. Если посмотреть на математический аппарат физики применительно к векторному исчислению, то оказывается, что этот аппарат представляет смесь реальных физических векторов и векторов фантомов.

Тогда возникает вопрос, а можно ли вообще исключить из обихода векторы-фантомы, которые вводят только по договорённости и построить электродинамику без их использования. Оказывается можно и это будет показано в данной статье.

2. Закон электромагнитной индукции Фарадея и его проблемы.

Скоро исполниться 200 лет с тех пор как в 1831 году Фарадей открыл свой знаменитый закон электромагнитной индукции, который до настоящего времени является одним из основных законов классической электродинамики. Но этот закон до настоящего времени является и одним из самых противоречивых, прежде всего по той причине, что из него имеются исключения (например, унипольярная индукция). Приведём по этому поводу цитату из шестого тома Фейнмановских лекций [1]. На стр. 52 читаем “...”правило потока”, согласно которому э.д.с. в контуре равна взятой с обратным знаком скорости, с которой меняется магнитный поток через контур, когда поток меняется за счет изменения поля или когда движется контур (или когда происходит и то, и другое). Две возможности — “контур движется” или “поле меняется” — неразличимы в формулировке правила. Тем не менее, для объяснения правила в этих двух случаях мы пользовались двумя совершенно

различными законами: $[\vec{V} \times \vec{B}]$ для “движущегося контура” и $\nabla \times \vec{E} = -\frac{\partial \vec{B}}{\partial t}$ для

“меняющегося поля”. И далее: “Мы не знаем в физике ни одного такого примера, когда бы простой и точный общий закон требовал для своего настоящего понимания анализа в терминах двух различных явлений. Обычно столь красивое обобщение

оказывается исходящим из единого глубокого основополагающего принципа. Но в этом случае какого-либо особо глубокого принципа не видно” (конец цитаты).

Но физика это не грамматика, и если из закона имеются исключения, то закон или не верен, или не полон. Когда Фарадей открыл свой закон, ещё не были известны уравнения Максвелла, не были известны электромагнитные волны, не были известны и законы распространения электромагнитных волн в длинных линиях. И сейчас, когда эти уравнения и законы известны, настало время рассмотрения указанных противоречий. Остаётся только удивляться, почему указанные вопросы, которые лежат практически на поверхности, до настоящего времени рассмотрены не были.

Запишем закон электромагнитной индукции Фарадея:

$$\oint \vec{E} d\vec{l} = -\frac{d\Phi_B}{dt} = -\int \frac{d\vec{B}}{dt} d\vec{s} = -\mu_0 \int \frac{d\vec{H}}{dt} d\vec{s} \quad (2.1)$$

где $\vec{B} = \mu_0 \vec{H}$ - вектор магнитной индукции, $\Phi_B = \mu_0 \int \vec{H} d\vec{s}$ - поток магнитной индукции, μ_0 - диэлектрическая проницаемость вакуума. Соотношение (2.1) можно переписать следующим образом [2]

$$\oint \vec{E}' dl' = -\int \frac{\partial \vec{B}}{\partial t} d\vec{s} + \oint [\vec{v} \times \vec{B}] dl' \quad (2.2)$$

или

$$rot \vec{E}' = -\frac{\partial \vec{B}}{\partial t} + rot [\vec{v} \times \vec{B}]. \quad (2.3)$$

При движении в магнитном поле, не зависящем от времени, имеем:

$$\vec{E}' = [\vec{v} \times \vec{B}] = \mu_0 [\vec{v} \times \vec{H}]. \quad (2.4)$$

Если в магнитном поле движется заряд e , то на него действует сила $\vec{F} = e[\vec{v} \times \vec{B}]$,

это и есть сила Лоренца. Ранее это понятие в классической электродинамике вводилось при помощи постулата, но теперь мы видим, что сила Лоренца является следствием закона индукции Фарадея.

В соотношениях (2.2-2.4), предполагающих справедливость преобразований Галилея, штрихованные и не штрихованные величины представляют поля и элементы в движущейся и неподвижной ИСО соответственно. Следует заметить, что преобразования (2.4) ранее можно было получить только из преобразований Лоренца.

Соотношения (2.2-2.4), представляющие закон индукции Фарадея, не дают информации о том, каким образом возникли поля в исходной неподвижной ИСО. Они описывают только закономерности преобразования полей в случае движения по отношению к уже существующим полям.

Продемонстрируем, как ведёт себя соотношение (2.4) на практике. Возьмём длинный соленоид (рис. 1.), диаметр которого значительно меньше его длины и введём в его обмотку ток.

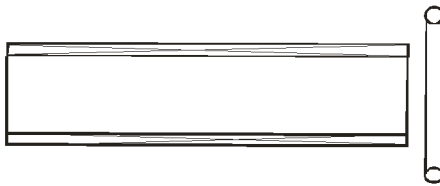


Рис. 1. Соленоид со сверхпроводящим кольцом.

При этом внутри соленоида и на его концах появятся силовые линии магнитного поля. И если внутри соленоида, вдали от концов, магнитный поток буде во всех сечениях практически одинаков, то вблизи концов линии магнитного поля будут иметь очень неоднородное распределение по сечению, здесь всегда будет присутствовать составляющая магнитного поля нормальная к оси соленоида.

Возьмём сверхпроводящее кольцо и начнём одевать его на соленоид. Если посмотреть на кольцо сверху, то магнитные поля соленоида и токи в соленоиде и кольце будут выглядеть, как показано на рис. 2.

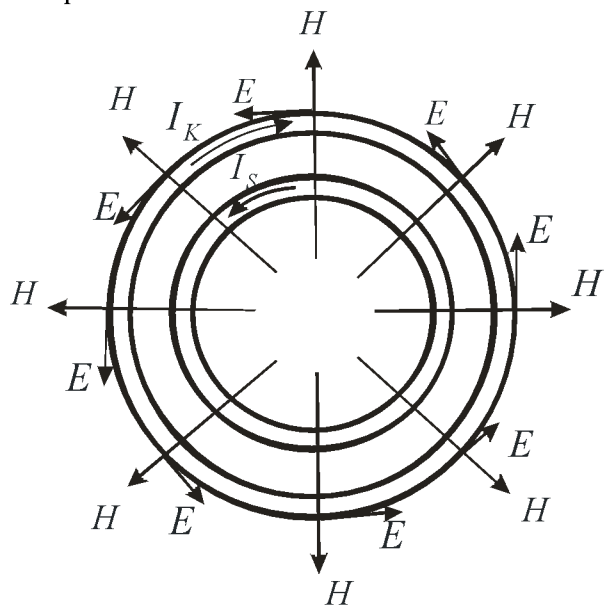


Рис. 2. Соленоид со сверхпроводящим кольцом (вид сверху).

На рисунке радиальными векторами обозначены радиальные составляющие магнитного поля вблизи верхнего края соленоида. Если опускать кольцо с какой-то скоростью \vec{v} , то на заряды в кольце будет действовать электрическое поле индукции (2.4), которое и будет ускорять заряды, создавая незатухающий ток в кольце. Ясно, что можно добиться такого же эффекта не только одевая кольцо на соленоид, но и вдвигать соленоид в кольцо. При обратном процессе электрические поля индукции будут обратного знака, они и погасят ток в кольце, когда оно будет полностью снято с соленоида.

При такой процедуре вдоль контура кольца будет индуцироваться циркуляция электрического поля $\oint \vec{E} d\vec{l} = \oint [\vec{v} \times \mu_0 \vec{H}] d\vec{l}$. Если кольцо разомкнуть, и

подключить к его концам вольтметр, то он зафиксирует э.д.с., которая является результатом механических перемещений разомкнутого витка. Этот принцип используется во всех электромеханических генераторах.

В законе (2.1) используется полная производная по времени. Это означает, что для получения циркуляции электрического поля не важен способ изменения магнитного потока, т.е. магнитный поток может изменяться как за счёт движения контура в пространственно меняющемся магнитном поле, так и за счёт локального изменения времени. Для этого случая закон Фарадея будет иметь вид:

$$\oint \vec{E} d\vec{l} = -\frac{\partial \Phi_B}{\partial t} = -\int \frac{\partial \vec{B}}{\partial t} d\vec{s} = -\mu_0 \int \frac{\partial \vec{H}}{\partial t} d\vec{s}. \quad (2.5)$$

Именно из этого закона и получено первое уравнение Максвелла.

Чтобы перейти от интегральных соотношений к локальным, введём векторный потенциал магнитного поля:

$$\Phi_B = \mu_0 \oint \vec{A}_H d\vec{l} \quad (2.6)$$

Из (2.5) и (2.6) получаем:

$$\vec{E} = -\mu_0 \frac{\partial \vec{A}_H}{\partial t} \quad (2.7)$$

Следует отметить, что в некоторых учебниках, например в [1], векторный потенциал вводится при помощи соотношения

$$\Phi_B = \oint \vec{A}_H d\vec{l}, \quad (2.6.a)$$

тогда

$$\vec{E} = -\frac{\partial \vec{A}_H}{\partial t} \quad (2.7.6)$$

Опять возьмём длинный соленоид и окружим его разомкнутым витком (рис. 3.)

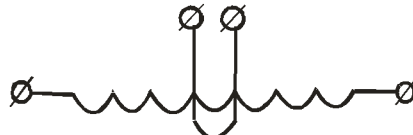


Рис. 3. Длинный соленоид, окруженный разомкнутым витком.

Поскольку магнитное поле внутри соленоида определяется соотношением $H = nI$, где I - ток в соленоиде, а n - количество витков на единицу его длины, магнитный поток внутри соленоида определиться как $\Phi_B = \pi r_0^2 \mu_0 n I$, где r_0 - радиус соленоида.

Используя соотношение (2.6.a), получаем $\oint \vec{A}_H d\vec{l} = \pi r_0^2 \mu_0 n I$. Из этого соотношения следует, что в любой точке r вне соленоида абсолютное значение векторного потенциала будет определяться равенством

$$A_H = \frac{\mu_0 n r_0^2 I}{2r} \quad (2.8)$$

Это означает, что длинный соленоид опоясывают концентрические окружности циркуляции векторного потенциала. При этом магнитное поле имеется только внутри соленоида, а снаружи его нет.

Пользуясь соотношениями (2.7, 2.8), получаем электрические индукционные поля вне соленоида:

$$E = -\frac{\mu_0 n r_0^2}{2r} \frac{dI}{dt} \quad (2.9)$$

Посмотрим, что по поводу схемы формирования электрических полей индукции вокруг длинного соленоида написано в Фейнмановских лекциях по физике [1]. В пятом томе на стр. 286 даётся формула (14.27) для векторного потенциала вне длинного соленоида. Видно, что она совпадает с равенством (2.8). Открываем шестой том и на стр. 21 читаем: «Вы помните, что если имеется длинный соленоид, по которому течёт электрический ток, то поле \vec{B} существует внутри него, а снаружи поля нет, тогда как множество векторов \vec{A} циркулируют снаружи соленоида (фиг.15.6)» (конец цитаты). На фигуре нарисован длинный соленоид, через поперечное сечение которого проходят силовые линии магнитной индукции, а вокруг соленоида нарисованы концентрические окружности циркуляции векторного потенциала. Как при этом получаются электрические поля индукции мы уже показали, получив соотношение (2.9). И такая точка зрения о природе полей индукции имеет место во всех существующих учебниках. Но верна ли она?

Если к соленоиду подключить источник э.д.с. U , то, как считалось ранее, ток в нём начнёт расти по линейному закону $I = \frac{Ut}{L}$, где L - индуктивность соленоида. Беря производную тока по времени и подставляя её в равенство (2.9), получаем: $E = -\frac{\mu_0 n r_0^2}{2r} \frac{U}{L}$. Это означает, что как только к соленоиду подключен источник напряжения и ток в нём начал расти по линейному закону, мгновенно вокруг соленоида возникает циркуляции электрического поля. Этот факт вызывает недоумение. Более того, при расчёте энергии, запасённой в соленоиде, учитываются только магнитные поля, а энергия электрических полей, возникших таким загадочным способом, не учитывается. Следовательно, эти загадочные поля и энергией не обладают. Конечно, такая интерпретация возникновения электрических полей индукции вокруг соленоида, а, следовательно, и э.д.с. в витке, окружающем соленоид, не приемлема. Этот абсурдный результат связан с тем, что мы предположили, что ток во всех витках соленоида, какую бы он длину не имел, растёт синхронно.

Всё это означает, что закон индукции Фарадея (2.5), записанный в частных производных по времени в том варианте, как его понимают сейчас, не верен. Но как же тогда быть с первым уравнением Максвелла, которое из него следует? Это очень важные принципиальные вопросы, на которые в классической электродинамике ответа пока нет. Как выйти из этой непростой ситуации?

2.1. Законы распространения сигналов в длинных линиях.

Под самоиндукцией будем понимать реакцию таких элементов как ёмкость и индуктивность с неизменными или изменяющимися параметрами на подключение к ним источников напряжения или тока.

Если величина ёмкости или разности потенциалов на ёмкости зависят от времени, то величина тока, текущего через эту ёмкость, определяется соотношением

$$I = C \frac{dU}{dt} + U \frac{dC}{dt}. \quad (2.1.1)$$

Это выражение определяет закон электрической самоиндукции. Таким образом, ток в цепи, содержащей ёмкость, можно получить двумя способами: изменения напряжение на ёмкости при постоянной ёмкости или изменения саму ёмкость при неизменном напряжении на ней, или производить изменение обоих параметров одновременно.

Для случая, когда ёмкость C зависит от времени, из (2.1.1), получаем выражение для тока, текущего через ёмкость:

$$I = U \frac{dC}{dt}. \quad (2.1.2)$$

Этот случай относится к параметрической электрической самоиндукции, поскольку наличие тока связано с изменением такого параметра как ёмкость. Видно, что величина

$$R_C = \left(\frac{dC}{dt} \right)^{-1}$$

играет роль активного сопротивления. В зависимости от знака производной, ёмкость может или отбирать энергию от источника, или отдавать её во внешнюю цепь.

Напряжение на индуктивности определяется соотношением

$$U = L \frac{dI}{dt} + I \frac{dL}{dt}. \quad (2.1.3)$$

Если ток I , текущий через индуктивность, постоянен, а сама индуктивность может изменяться, то из (2.1.3) получаем:

$$U = I \frac{dL}{dt}. \quad (2.1.4)$$

Таким образом, величина

$$R(t) = \frac{dL}{dt}$$

играет роль активного сопротивления. Это активное сопротивление тоже может быть в зависимости от знака производной, как положительным, так и отрицательным. Это означает, что индуктивность может, как получать энергию извне, так и отдавать её во внешние цепи.

Рассмотренные процессы касаются цепей с сосредоточенными параметрами, когда распределение разностей потенциалов и токов в рассмотренных элементах можно считать пространственно однородным. Однако имеются цепи, например длинные линии, в которых это условие не выполняется, в них процессы описываются волновыми уравнениями, которые могут быть получены из уравнений Максвелла или при помощи телеграфных уравнений.

Покажем ещё один путь получения волнового уравнения для длинных линий.

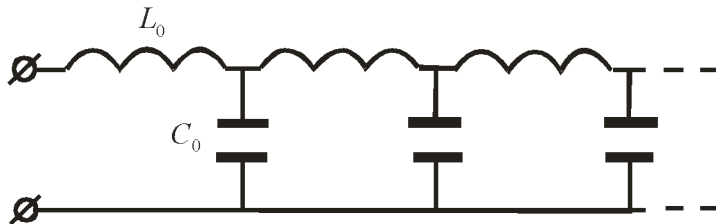


Рис. 4. Эквивалентная схема длинной линии.

Длинная линия имеет погонную (приходящуюся на единицу длины) индуктивность L_0 и ёмкость C_0 . В связи с этим эквивалентная схема участка длинной линии может быть изображена как последовательное включение единичных участков с погонными параметрами (рис. 4). Если к такой линии подключить источник постоянного напряжения U , то его фронт будет распространяться в линии с какой-то скоростью v , и текущая координата этого фронта определится соотношением $Z = vt$. При этом суммарная величина заряженной ёмкости и величина суммарной индуктивности, по которой протекает ток, отсчитываемые от начала линии до места нахождения фронта напряжения, будут изменяться по законам

$$C(t) = zC_0 = vt C_0,$$

$$L(t) = zL_0 = vt L_0.$$

При этом источник напряжения будет заряжать увеличивающуюся ёмкость линии, для чего от источника в линию в соответствии с соотношением (2.1.2) должен течь ток

$$I = U \frac{dC(t)}{dt} = vUC_0. \quad (2.1.5)$$

Этот ток будет течь через проводники линии, обладающие индуктивностью. Но, поскольку в связи с движением фронта напряжения индуктивность линии тоже увеличивается, то в соответствии с соотношением (2.4), на ней будет наблюдаться падение напряжения

$U_1 = I \frac{dL(t)}{dt} = vIL_0 = v^2 UC_0 L_0$. Напряжения на проводниках линии, обладающих индуктивностью, равно напряжению, приложенному к её входу, поэтому в последнем выражении следует положить $U = U_1$. С учетом этого сразу находим, что скорость движения фронта напряжения при заданных погонных параметрах и при наличии на входе линии постоянного напряжения U должна составлять

$$v = \frac{1}{\sqrt{L_0 C_0}}. \quad (2.1.6)$$

Это известное выражение даёт скорость распространения электромагнитной волны в длинных линиях. Следовательно, если к такой линии подключить источник напряжения, то в ней будет иметь место саморасширение электрических полей и токов, заполняющих линию энергией, а скорость фронта постоянного напряжения и тока будет равна скорости распространения (2.1.6). Такую волну можно называть электротоковой. Интересно отметить, что полученный результат не зависит от вида функции U , т.е. к линии может быть подключен как источник постоянного напряжения, так и источник, напряжение которого меняется по любому закону. Во всех этих случаях величина локального значения напряжения на входе линии будет распространяться вдоль неё со скоростью (2.1.6). Этот результат мог быть до сих пор получен только путём решения волнового уравнения, но в данном случае рассмотрение указывает на физическую причину такого распространения, и даёт физическую картину самого процесса. Он показывает, что сам процесс распространения связан с энергетическими процессами заполнения линии электрической и токовой энергией. Этот процесс происходит таким образом, что фронт волны, распространяясь со скоростью v , оставляет за собой линию, заряженную до разности потенциалов U , что соответствует заполнению линии энергией электрического поля. На участке же от начала линии и до самого фронта волны течет ток I , что соответствует заполнению линии на этом участке энергией, которая связана с движением зарядов по проводникам линии, обладающих индуктивностью.

Величину тока в линии можно получить, подставив значения скорости распространения фронта волны, определяемого соотношением (2.1.6), в соотношение (2.1.5). Сделав эту

подстановку, получим $I = U \sqrt{\frac{C_0}{L_0}}$, где $Z = \sqrt{\frac{L_0}{C_0}}$ - волновое сопротивление линии.

Таким образом, процессы распространения напряжения вдоль проводников длинной линии и постоянного тока в них являются взаимно связанными, и существовать по отдельности не могут. Такой процесс можно называть электротоковой самопроизвольной параметрической самоиндукцией. Такое название связано с тем, что распространение напряжения и тока происходят самопроизвольно.

Зная ток и напряжение в линии, можно вычислить удельную энергию, заключенную в погонной ёмкости и индуктивности. Эти энергии определяются соотношениями:

$$W_C = \frac{1}{2} C_0 U_1^2, \quad (2.1.7)$$

$$W_L = \frac{1}{2} L_0 I_1^2. \quad (2.1.8)$$

Нетрудно видеть, что $W_C = W_L$.

2.2. Процессы распространения в закороченных длинных линиях.

Если длинную линию закоротить на расстоянии Z_1 от ее начала, то суммарная индуктивность линии составит величину $L_{\Sigma} = z_1 L_0$. Если подключить к линии источник постоянного напряжения, в ней начнет распространяться волна тока $I = \frac{U}{Z}$ и разности потенциалов U , как показано на рис. 5.

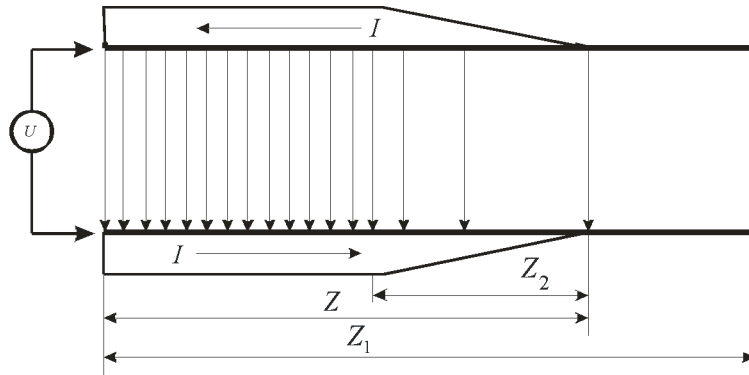


Рис. 5. Распространение волны тока и напряжения в закороченной длинной линии.

Волна тока в правой своей части имеет переходной участок Z_2 , который является фронтом волны. Этот участок соответствует времени переходного процесса $\tau = \frac{Z_2}{c}$, за которое напряжение источника, подключаемого к линии, достигает своего номинального значения.

В линии изображены два переходных участка в верхнем и в нижнем проводнике. В верхнем проводнике на этом участке происходит ускорение электронов от нулевой скорости (правее начала переходного участка) до его номинального значения левее этого участка. В процессе такого ускорения меняется и плотность электронов. Правее участка она больше, левее — меньше. В нижнем проводе происходит обратный процесс, на этом переходном участке скорость электронов уменьшается, а их плотность растёт. Разность плотностей электронов в верхнем и нижнем проводе и создаёт разность потенциалов между этими проводами, равную напряжению источника питания, а приобретённая в процессе ускорения скорость электронов создаёт ток в проводах линии $I = \frac{U}{Z}$.

К переходному участку, где происходит ускорение электронов и приложена э.д.с. источника питания. В данном случае принято, что во время переходного процесса нарастания напряжения на входе линии происходит по линейному закону (хотя в общем случае оно может нарастать по любому другому закону). Будем считать также, что время этого переходного процесса значительно меньше, чем время, за которое фронт напряжения пробегает по линии до закороченного участка. Это означает, что Z_1 значительно больше, чем Z_2 .

В том месте, где линия закорочена, выполняется условие $U = 0$, и когда в этом месте появляется фронт U , возникает отраженная волна с напряжением $-U$, бегущая в обратном направлении. Так как ток в этой отраженной волне равен напряжению с отрицательным знаком и двигается она в обратном направлении, то суммарный ток, создаваемый этой волной будет равен $-\left(-\frac{U}{Z}\right) = \frac{U}{Z}$, т.е. он будет течь в том же направлении, что и ток падающей волны. Таким образом, отраженная волна, двигаясь в обратном направлении, будет оставлять после себя ток, равный $\frac{2U}{Z}$, и нулевое напряжение. Когда фронт U возвратиться к началу линии, он принесет с собой состояние удвоенного начального тока и нулевое напряжение. Источник снова пошлет в линию фронт напряжения U и ток $\frac{U}{Z}$. Этот ток сложится с током $\frac{2U}{Z}$, и суммарный ток в линии составит $\frac{3U}{Z}$. Ток и далее будет нарастать ступеньками, добавляя каждый очередной раз к своему прежнему значению величину $\frac{2U}{Z}$. Этот процесс отображен на рис. 6.

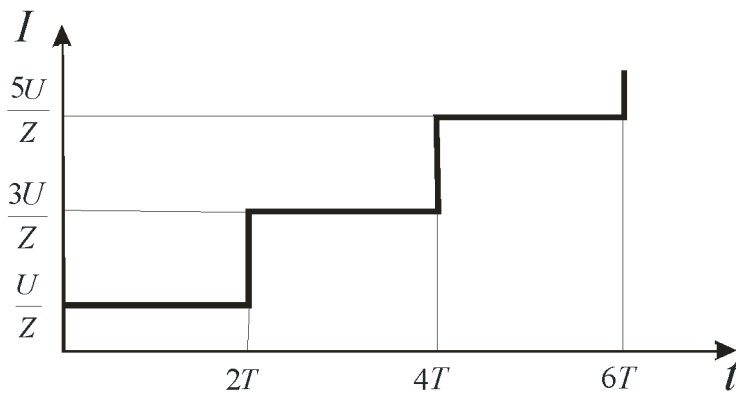


Рис. 6. График зависимости тока от времени на входе закороченной линии.
На этом рисунке время

$$T = \frac{z_1}{c} = z_1 \sqrt{L_0 C_0}$$

равно времени, за которое фронт напряжения пробегает по линии от её начала до закороченного участка.

Особенностью такого процесса является то, что отбор энергии от источника напряжения не будет подчиняться линейному закону, а будет иметь скачкообразный характер. Мощность, отбираемая на интервале времени от нуля до $2T$, будет составлять $\frac{U^2}{Z}$. Но на каждом последующем интервале времени, равном $2T$, она будет возрастать уже на

величину $\frac{2U^2}{Z}$. При этом первый скачок соответствует отбираемой мощности, равной

$\frac{U^2}{Z}$. Указанный процесс имеет место при любой длине линии. При малой её длине

скачки следуют через малые промежутки времени и зависимость тока от времени приближенно можно считать линейной, что и характерно для элементов с сосредоточенными параметрами.

Для выяснения процессов распространения полей в длинном соленоиде заменим верхний проводник длинной линии соленоидом (рис. 7). В данном случае процесс распространения полей в ней ничем не будет отличаться от рассмотренного с той лишь разницей, что погонная индуктивность линии теперь будет определяться погонной индуктивностью соленоида, а погонная ёмкость – ёмкостью между соленоидом и нижним проводом.

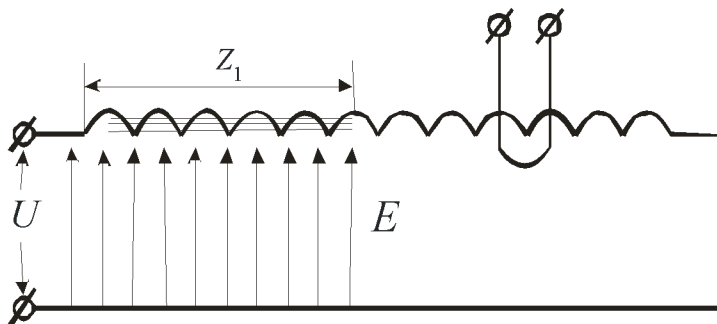


Рис. 7. Схема распространения магнитных полей в длинном соленоиде, охваченном индукционным витком.

Когда в такой линии фронт волны дойдет до точки с координатой Z_1 , то магнитным полем будет заполнена только часть соленоида, расположенная между источником питания и точкой Z_1 , и только когда фронт магнитного поля в соленоиде достигнет плоскости витка, на его клемах появится э.д.с.. Когда фронт волны дойдет до конца соленоида, то магнитным полем он будет заполнен полностью. При обратном ходе ток и магнитное поле в соленоиде удвоится, и процесс будет происходить по уже рассмотренному ранее сценарию. Таким образом, магнитный поток в любом поперечном сечении соленоида будет нарастать не плавно, а скачками, и период этих скачков будет определяться временем прохождения волной закороченного отрезка соленоида. Такое перемещение магнитного потока будем называть электрическим.

Перемещаясь вдоль соленоида, фронт магнитного потока будет пронизывать плоскость витка, создавая циркуляцию электрического поля вокруг соленоида в этой области, подобно тому, как это происходит при механическом введении соленоида в окружающий его виток. Однако в данном случае скорость движения фронта потока несоизмеримо больше, чем при механическом движении соленоида, но механизм возникновения циркуляции электрического поля в обоих случаях одинаков. И сколь бы не был короток соленоид, процесс нарастания магнитного поля в любом его поперечном сечении будет скачкообразным.

Таким образом, циркуляция электрического поля вне такого соленоида порождается не частной производной магнитного потока по времени, как считалось ранее, а тем, что магнитный поток движется внутри такого соленоида. При небольшой длине соленоида расстояние между импульсами мало, поэтому они, сливаясь, образуют почти постоянное напряжение.

Рассмотрение показало, что ток во всех витках соленоида не может нарастать одновременно и этим снимается парадокс наличия вокруг длинного соленоида с постоянным током циркуляции векторного потенциала. Таким образом, закон Фарадея в частных производных по времени не отражает физику возникновения индукционных электрических полей снаружи соленоида, и получен исчерпывающий ответ на тот вопрос, который поставлен в фейнмановских лекциях [9].

При разработке закона индукции следует, в первую очередь, выяснить причину образования электрические поля вблизи тех прямолинейных проводников, по которым протекают переменные токи. Если потом свернуть такие проводники в спирали или соленоиды, то от этого упомянутые законы не изменятся, а при их использовании лишь будет необходимо учесть изменение геометрии указанных проводников. На данном этапе развития электродинамики эти вопросы решены лишь на феноменологическом уровне путём введения векторного магнитного потенциала, производная по времени от которого и представляет электрические поля индукции.

3. Векторный потенциал магнитного поля в классической электродинамике.

Магнитное поле в своё время было введено Ампером феноменологическим путём на основе наблюдения силового взаимодействия между проводниками, по которым течёт ток. Закон Ампера, выраженный в векторной форме, определяет магнитное поле в точке наблюдения следующим образом:

$$\vec{H} = \int \frac{I[\vec{dl} \vec{r}]}{4\pi r^3}$$

где I - ток в элементе $d\vec{l}$, \vec{r} - вектор, направленный из $d\vec{l}$ в точку наблюдения.

Можно показать, что

$$\frac{[\vec{dl}\vec{r}]}{r^3} = \left[\text{grad} \left(\frac{1}{r} \right) \vec{dl} \right] = \text{rot} \left(\frac{\vec{dl}}{r} \right) - \frac{1}{r} \text{rot} \vec{dl}$$

Но ротор $d\vec{l}$ равен нулю и поэтому окончательно

$$\vec{H} = \text{rot} \int I \left(\frac{\vec{dl}}{4\pi r} \right) = \text{rot} \vec{A}_H$$

где

$$\vec{A}_H = \int \frac{Id\vec{l}}{4\pi r} \quad (3.1)$$

векторный потенциал магнитного поля. Процесс формирования векторного потенциала изображен на рис. 8.

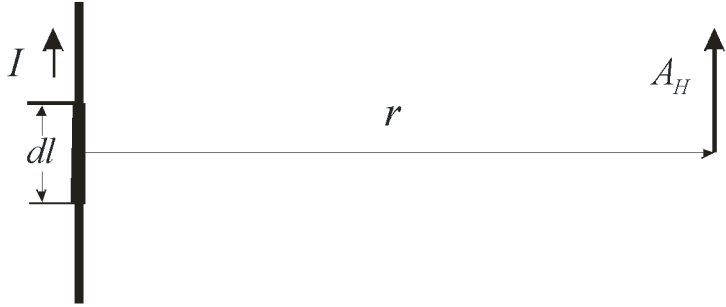


Рис. 8. Формирование векторного потенциала элементом проводника, по которому течёт ток.

Замечательным свойством этого процесса является то, что зависимость векторного потенциала обратно пропорциональна расстоянию до точки наблюдения, что характерно для законов излучения.

Поскольку $I = gv$, где g количество зарядов, приходящееся на единицу длины проводника, из (3.1) получаем

$$\vec{A}_H = \int \frac{gv d\vec{l}}{4\pi r}.$$

Если размер элемента $d\vec{l}$, по которому течёт ток, значительно меньше, чем расстояние до точки наблюдения, то векторный потенциал, порождаемый элементом $d\vec{l}$, по которому течёт ток $I = gv$, имеет вид

$$\vec{A}_H = \frac{gv d\vec{l}}{4\pi r} \quad (3.2)$$

Из этого соотношения следует интересный факт. Даже на постоянном токе зависимость векторного потенциала от расстояния соответствует законам излучения. И, казалось бы, что, меняя скачками ток в коротком отрезке провода, и измеряя векторный потенциал в удалённой точке, можно передавать информацию в эту точку по законам излучения. Но этому мешает то обстоятельство, что цепь постоянного тока всегда замкнута на локальный источник питания и поэтому всегда есть как прямой, так и обратный провод. Эта особенность приводит к тому, что скалярный потенциал в дальней зоне оказывается обратно пропорциональным квадрату расстояния до наблюдаемой точки. Это легко показать на примере двух параллельных элементов проводника, расположенных на расстоянии d (рис. 9), в которых текут встречные токи.

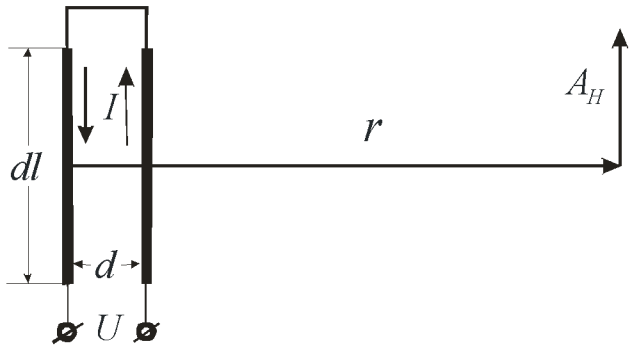


Рис. 9. Формирование векторного потенциала двумя параллельными участками проводников, по которым текут встречные токи.

В этом случае векторный потенциал в удалённой зоне определяется как сумма векторных потенциалов, создаваемых в дальней зоне каждым токовым элементом в отдельности.

При условии, что r значительно больше d получаем:

$$\vec{A}_H = \frac{gv d\vec{l}}{4\pi r} - \frac{gv d\vec{l}}{4\pi(r+d)} \approx \frac{gv d\vec{l} d}{4\pi r^2}. \quad (3.3)$$

Поскольку

$$\vec{E} = -\mu_0 \frac{\partial \vec{A}_H}{\partial t}, \quad (3.4)$$

то для случая, изображенного на рис. 8, находим:

$$\vec{E}_1 = -\frac{\mu_0 ga d\vec{l}}{4\pi r}. \quad (3.5)$$

А для случая, изображенного на рис.9, соответственно:

$$\vec{E}_2 = -\frac{\mu_0 ga d\vec{l}d}{4\pi r^2} \quad (3.6)$$

где $a = \frac{dv}{dt}$ - ускорение зарядов. Поскольку скорость света определяется соотношением

$$c = \frac{1}{\sqrt{\epsilon_0 \mu_0}}. \quad (3.7)$$

где ϵ_0 - диэлектрическая проницаемость вакуума, то равенства (3.5) и (3.6) можно переписать:

$$\vec{E}_1 = -\frac{ga d\vec{l}}{4\pi\epsilon_0 c^2 r}. \quad (3.8)$$

$$\vec{E}_2 = -\frac{ga d\vec{l}d}{4\pi\epsilon_0 c^2 r^2}. \quad (3.9)$$

Если имеется точечный заряд e , то эти соотношения принимают вид:

$$\vec{E}_1 = -\frac{e\vec{a}}{4\pi\epsilon_0 c^2 r} , \quad \vec{E}_2 = -\frac{e\vec{a} d}{4\pi\epsilon_0 c^2 r^2}$$

Основная задача законов индукции заключается в выяснении причин появления в пространстве индукционных электрических полей, а, следовательно, и сил действующих на заряд. Это главная задача индукции, т.к. только электрические поля, генерируемые тем или иным способом, оказывают силовые воздействия на другие заряды.

Мы уже вводили связь между производной векторного потенциала и индуцированным электрическим полем

$$\vec{E} = -\mu_0 \frac{\partial \vec{A}_H}{\partial t}. \quad (3.10)$$

Соотношение (3.10) означает локальную связь между производной этого вектора и индуцированным электрическим полем. Зная производную вектора \vec{A}_H по координатам, можно определить также индуцируемое магнитное поле, поскольку

$$\vec{H} = \text{rot } \vec{A}_H.$$

До сих пор решение вопроса о возникновении электрических полей в движущихся контурах можно было осуществлять двумя путями. Первый - заключался в вычислении силы Лоренца, действующей на движущиеся заряды, второй путь заключался в измерении изменения магнитного потока через исследуемый контур. Оба метода давали одинаковый результат. Это было непонятно. В связи с непониманием физической природы такого положения дел и начали считать, что униполярный генератор является исключением из правила потока [9]. Рассмотрим эту ситуацию подробнее.

Для того чтобы ответить на поставленный вопрос, следует несколько изменить соотношение (3.10), заменив в нём частную производную на полную:

$$\vec{E}' = -\mu_0 \frac{d\vec{A}_H}{dt}. \quad (3.11)$$

Штрих около вектора \vec{E}' означает, что это поле определяется в движущейся системе координат, в то время как вектор \vec{A}_H определен в неподвижной системе. Таким образом, предполагается, что векторный потенциал может иметь, как локальную, так и конвекционную производную, т.е. может меняться, как за счет изменения локального времени, так и за счет движения в пространственно меняющемся поле этого потенциала. Соотношение (3.11) можно переписать следующим образом [6 - 8]:

$$\vec{E}' = -\mu_0 \frac{\partial \vec{A}_H}{\partial t} - \mu_0 (\vec{v} \nabla) \vec{A}_H,$$

где \vec{v} - скорость штрихованной системы. Следовательно, дополнительная сила, действующая на заряд в движущейся системе, запишется

$$\vec{F}'_{v,1} = -\mu_0 e (\vec{v} \nabla) \vec{A}_H.$$

Эта сила зависит только от пространственных производных векторного потенциала и скорости штрихованной системы.

Заряд, движущийся в поле векторного потенциала \vec{A}_H со скоростью \vec{v} , обладает также потенциальной энергией [9]

$$W = -e\mu_0(\vec{v}\vec{A}_H).$$

Поэтому должна существовать еще одна сила, действующая на заряд в движущейся ИСО, являющаяся градиентом этого потенциала:

$$\vec{F}'_{v,2} = -\text{grad } W = e\mu_0 \text{grad}(\vec{v}\vec{A}_H).$$

Таким образом, величина $\mu_0(\vec{v}\vec{A}_H)$ играет такую же роль, что и скалярный потенциал φ , градиент которого дает электрическое поле. Следовательно, суммарная сила, которая действует на заряд, движущийся в поле векторного потенциала, может иметь три составляющие

$$\vec{F}' = -e\mu_0 \frac{\partial \vec{A}_H}{\partial t} - e\mu_0(\vec{v}\nabla)\vec{A}_H + e\mu_0 \text{grad}(\vec{v}\vec{A}_H). \quad (3.12)$$

Первая из составляющих этой силы действует на неподвижный заряд, когда векторный потенциал имеет локальную производную по времени. Вторая составляющая также определяет изменения векторного потенциала во времени, но они связаны уже с движением заряда в пространственно меняющемся поле этого потенциала. Совсем иная природа у силы, которая определяется последним слагаемым соотношения (3.12). Она связана с тем, что заряд, двигающийся в поле векторного потенциала, обладает потенциальной энергией, градиент которой и дает силу. Из соотношения (3.12) следует

$$\vec{E}' = -\mu_0 \frac{\partial \vec{A}_H}{\partial t} - \mu_0(\vec{v}\nabla)\vec{A}_H + \mu_0 \text{grad}(\vec{v}\vec{A}_H). \quad (3.13)$$

Это закон в отличие от закона Фарадея определяет все электрические поля, которые могут возникать в заданной точке пространства, причем эта точка может быть как неподвижной, так и движущейся. Этот единый закон включает в себя и закон Фарадея, и ту часть силы Лоренца, которая связана с движением заряда в магнитном поле. Этот закон без всяких исключений дает ответ на все вопросы, касающиеся взаимной индукции. Показательно, что, если взять ротор от обеих частей равенства (3.13), пытаясь получить первое уравнение Максвелла, то сразу будет потеряна существенная часть информации, т.к. ротор от градиента тождественно равен нулю. В этом и заключается физический смысл градиентной инвариантности.

Если выделить те силы, которые связаны с движением заряда в поле векторного потенциала, и учесть, что

$$\mu_0 \text{grad}(\vec{v}\vec{A}_H) - \mu_0(\vec{v}\nabla)\vec{A}_H = \mu_0 [\vec{v} \times \text{rot } \vec{A}_H],$$

то из (3.12) получим

$$\vec{F}'_v = e\mu_0 \left[\vec{v} \times \text{rot } \vec{A}_H \right]. \quad (3.14)$$

Учитывая (3.10), запишем:

$$\vec{F}'_v = e\mu_0 \left[\vec{v} \times \vec{H} \right]. \quad (3.15)$$

Это соотношение и определяет магнитную часть силы Лоренца, откуда получаем

$$\vec{E}'_v = \mu_0 \left[\vec{v} \times \vec{H} \right]. \quad (3.16)$$

Таким образом, к электрическому полю, действующему на заряд, определяемому соотношением (3.10), добавляется поле, определяемое соотношением (3.16).

Окончательно для силы, действующей на заряд, получаем:

$$\vec{F}' = e\vec{E} + e\vec{E}'_v = -e \frac{\partial \vec{A}_H}{\partial t} + e\mu_0 \left[\vec{v} \times \vec{H} \right]. \quad (3.17)$$

Может показаться, что соотношение (3.17) представляет силу Лоренца, однако, это не так.

В этом соотношении и поле \vec{E} , и поле \vec{E}'_v являются индуцированными, первое из них связано с локальной производной векторного потенциала по времени, второе же обязано движению заряда в пространственно меняющемся поле этого потенциала. Чтобы получить полную силу, действующую на заряд, необходимо для случая, когда система не является электронейтральной, к правой части соотношения (3.17) добавить слагаемое $-e \text{ grad } \varphi$:

$$\vec{F}'_\Sigma = -e \text{ grad } \varphi + e\vec{E} + e\mu_0 \left[\vec{v} \times \vec{H} \right],$$

где φ - скалярный потенциал, создаваемый в точке наблюдения нескомпенсированными зарядами. Теперь соотношение (3.13) можно переписать следующим образом:

$$\vec{E}' = -\mu_0 \frac{\partial \vec{A}_H}{\partial t} - \mu_0 (\vec{v} \nabla) \vec{A}_H + \mu_0 \text{grad}(\vec{v} \vec{A}_H) - \text{grad } \varphi, \quad (3.18)$$

или, собрав первые два члена в полную производную векторного потенциала по времени, и, внеся под знак градиента два последних члена правой части соотношения (3.18), получим:

$$\vec{E}' = -\mu_0 \frac{d\vec{A}_H}{dt} + \text{grad} \left(\mu_0 (\vec{v} \vec{A}) - \varphi \right). \quad (3.19)$$

Если обе части соотношения (3.19) умножить на величину заряда, то можно получить полную силу, действующую на заряд. От силы Лоренца она будет отличаться силой $-e\mu_0 \frac{\partial \vec{A}_H}{\partial t}$. Из соотношения (3.13) видно, что величина $(\mu_0 \vec{v} \vec{A}) - \varphi$ играет роль обобщенного скалярного потенциала. Если взять ротор от обеих частей соотношения (3.19) и учесть, что $\text{rot grad} = 0$, то получим:

$$\text{rot } \vec{E}' = -\mu_0 \frac{d\vec{H}}{dt}.$$

Если в данном соотношении полную производную заменить на частную, т.е. считать, что поля определяются только в заданной инерциальной системе, то получим первое уравнение Максвелла.

Ранее сила Лоренца вводилась при помощи постулата. Получить расчетным путем последнее слагаемое правой части соотношения (3.17) можно было только в рамках СТО. В данном случае все слагаемые соотношение (3.17) получены из закона индукции в рамках преобразований Галилея. Причем соотношение (3.17) это и есть полный закон взаимной индукции, если его записать в терминах векторного потенциала. Это есть как раз то правило, которое дает возможность, зная поля в одной ИСО, вычислять поля в другой инерциальной системе, и этого правила до сих пор не было в классической электродинамике.

Структуру сил, действующих на движущийся заряд, легко понять на примере, когда заряд движется между двумя параллельными плоскостями, по которым протекает ток (рис. 10). Выберем оси координат таким образом, чтобы ось Z была направлена нормально к плоскостям, а ось Y параллельна им. Тогда для случая, когда расстояние между пластинами значительно меньше их ширины (в данном случае на рисунке это соотношение не соблюдено), магнитное

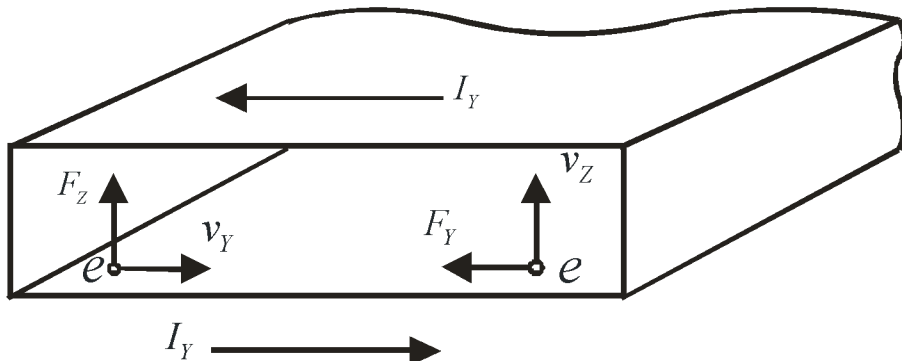


Рис. 10. Силы, действующие на заряд, движущийся в поле векторного потенциала.

поле H_x между ними будет равно удельному току I_y , протекающему по пластинам. Если положить, что векторный потенциал на нижней пластине равен нулю, то его y – компонента, отсчитываемая от нижней пластины, будет возрастать по закону $A_y = I_y z$. Если электрон двигается в направлении оси Y вблизи нижней пластины со скоростью v_y , то сила F_z , действующая на заряд, определяется последним слагаемым соотношения (3.12) и равна

$$F_z = e\mu v_y I_y. \quad (3.20)$$

Направлена эта сила от нижней пластины к верхней.

Если заряд двигается вдоль оси Z от нижней пластины к верхней со скоростью $v_z = v_y$, то для нахождения силы следует использовать уже второе слагаемое правой части соотношения (3.12). Эта сила по абсолютной величине опять равна силе, определяемой

соотношением (3.20), и направлена в сторону противоположную оси y . При любых других направлениях движения суммарная сила будет векторной суммой двух сил, представляемых последними слагаемыми соотношения (3.12). Суммарная же величина этой силы по-прежнему будет определяться соотношением (3.17), а сама сила всегда будет нормальной к направлению движения заряда. Ранее наличие такой силы рассматривалось как действие силы Лоренца, природа которой была неизвестна и вводилась как экспериментальный постулат. Теперь понятно, что она является следствием совместного действия двух сил, различных по своей природе, физический смысл которых теперь определён. Однако в данном случае возникает один существенный вопрос. Если на заряд действует сила, то с точки зрения третьего закона Ньютона, должна быть и ей равнодействующая, и место приложение такой силы должно быть известно. Концепция магнитного поля ответа на этот вопрос не даёт, поскольку и магнитное поле, и векторный потенциал выступают в качестве самостоятельной субстанции, с которой и происходит взаимодействие.

С точки зрения существующей теории электромагнетизма силы взаимодействия проводников можно найти двумя путями. Первый из них заключается в том, что один из проводников (например, нижний) создает в месте расположения верхнего проводника

$$H(r) = \frac{g_1 v_1}{2\pi r}, \quad \text{где } g_1 - \text{количество движущихся зарядов,}$$

приходящееся на единицу длины проводника, а v_1 - скорость зарядов. В системе координат, двигающейся вместе с зарядами верхнего проводника, возникает сила Лоренца

$$F = g_2 v_2 \mu_0 H(r),$$

Значение этой силы, приходящейся на единицу длины проводника, записывается как

$$F = \frac{\mu g_1 V_1 g_2 V_2}{2\pi r} = \frac{I_1 I_2}{2\pi \epsilon c^2 r}. \quad (3.23)$$

Соотношение (3.23) можно получить и другим способом. Можно считать, что нижний проводник создает в районе расположения верхнего векторный потенциал, Z компонента которого равна

$$A_z = -\frac{g_1 V_1 \ln r}{2\pi \epsilon c^2} = -\frac{I_1 \ln r}{2\pi \epsilon c^2}.$$

Потенциальная энергия единичного участка верхнего проводника, по которому течет ток I_2 , в поле векторного потенциала A_z определяется соотношением

$$W = I_2 A_z = -\frac{I_1 I_2 \ln r}{2\pi \epsilon c^2}.$$

Градиент этой энергии и даёт силу

$$F = \frac{\partial W}{\partial r} = \frac{I_1 I_2}{2\pi\epsilon c^2 r} .$$

Оба рассмотренных метода дают одинаковый результат, но второй метод с точки зрения понимания физики процесса полностью прозрачен, в то время как наличие силы, направленной нормально к прямолинейному движению заряда, что предполагает сила Лоренца, с точки зрения физики совершенно непонятно.

Таким способом можно объяснить и происхождение пондеромоторных (механических) сил. Если ток, текущий через проводник, разбить на отдельные токовые нити, то все они будут по отдельности создавать поле векторного потенциала в месте расположения любой отдельной нити. Суммарное поле будет действовать на каждую нить в отдельности, и в соответствии с последним слагаемым правой части соотношения (3.12) это будет приводить к взаимному их притяжению.

Следует подчеркнуть, что в соотношении (3.14) и (3.19) все поля имеют индукционное происхождение, и они связаны то ли с локальной производной векторного потенциала, то ли с движением заряда в пространственно меняющемся поле этого потенциала. Если поля во времени не изменяются, то в правой части соотношений (3.14) и (3.15) остаются только последние слагаемые, и они объясняют работу всех существующих электрогенераторов с движущимися механическими частями, в том числе и работу униполярного генератора. В этом случае в формировании силы, действующей на заряд, принимают участие два последних слагаемых правой части равенства (3.13), внося одинаковые вклады. Теперь ясно, что представление закона индукции в терминах векторного потенциала это и есть тот „основополагающий принцип”, на отсутствие которого указывается в работе [1].

Второе уравнение Максвелла в терминах векторного потенциала можно записать следующим образом:

$$\operatorname{rot} \operatorname{rot} \vec{A}_H = \vec{j}(\vec{A}_H).$$

где $\vec{j}(\vec{A}_H)$ - некоторый функционал от \vec{A}_H , зависящий от свойств рассматриваемой среды. Если, например, $\vec{j} = \sigma \vec{E}$, т.е. выполняется закон Ома, то

$$\vec{j}(\vec{A}_H) = \operatorname{rot} \operatorname{rot} \vec{A}_H = -\sigma \mu \frac{\partial \vec{A}_H}{\partial t} . \quad (3.24)$$

Для свободных зарядов, которые могут двигаться без трения, функционал будет иметь вид

$$\vec{j}(\vec{A}_H) = \operatorname{rot} \operatorname{rot} \vec{A}_H = \frac{\mu}{L_k} \vec{A}_H , \quad (3.25)$$

где $L_k = \frac{m}{ne^2}$ - удельная кинетическая индуктивность зарядов [11]. В этом соотношении

m , e и n - масса заряда, его величина и плотность соответственно.

Для токов проводимости выполняется условие $\operatorname{div} \vec{A}_H = 0$. Поэтому соотношения (3.24) и (3.25) можно переписать:

$$\nabla^2 \vec{A}_H = \sigma\mu \frac{\partial \vec{A}_H}{\partial t} \quad (3.26)$$

$$\nabla^2 \vec{A}_H = -\frac{\mu}{L_k} \vec{A}_H \quad (3.27)$$

Соотношения (3.26) и (3.27) представляют волновые уравнения для векторного потенциала в нормальных металлах и сверхпроводниках.

Для свободного пространства имеет место соотношение

$$\text{rot rot} \vec{A}_H = -\mu\epsilon \frac{\partial^2 \vec{A}_H}{\partial t^2}. \quad (3.28)$$

В данном случае нельзя полагать, что $\text{div} \vec{A}_H = 0$, поэтому требуется полное решение этого уравнения.

Имея в распоряжении соотношения (3.26 – 3.28), нам уже нет нужды прибегать к услугам первого уравнения Максвелла, т.к. волновые процессы в рассматриваемых средах эти соотношения уже определяют.

Всё сказанное свидетельствует о том, что векторный потенциал в классической электродинамике имеет очень важную роль, поскольку определяет не только волновые но и энергетические процессы. Использование векторного потенциала проливает свет на многие физические явления, которые ранее понятны не были. Такой подход ставит электродинамику на новую основу, где главенствующую роль играют уже не поля, а потенциалы. Но пока, к сожалению, векторный потенциал вводится только феноменологическим путём и физическая его природа не ясна. Если же удастся выяснить физическую природу этого потенциала, то будет решена очень важная физическая задача как теоретического, так и прикладного плана. Эту задачу мы попытаемся решить во второй части этой работы.

4. Многополюсный униполярный генератор переменного тока.

Униполярная индукция получения э.д.с. выгодно отличается своей простотой. Движущиеся части генератора не имеют обмоток, момент инерции его ротора может быть значительно меньше, чем у существующих конструкций, что допускает его быстрый реверс при использовании генератора в качестве двигателя. В существующих генераторах обмотки приходится укладывать в узкие пазы и изолировать их от стенок, что лишает возможности эффективного их охлаждения. Этого недостатка у униполярных генераторов и двигателей тоже нет. Однако все эти преимущества перечёркиваются слишком малыми значениями э.д.с., которые можно получить от униполярных генераторов. Предлагаемая конструкция униполярного генератора даёт возможность получать переменные э.д.с., что допускает применение трансформаторов, и это позволяет получать от таких генераторов любые напряжения.

Конструкция униполярного генератора, позволяющая получать переменные э.д.с. основана на превращении его в многополюсный генератор, как показано на рис. 11.

В состав генератора входит неподвижный проводящий диск, по которому скользят щётки, закреплённые на концах металлических спиц. Диск охватывает ярмо магнитов, зазор между полюсами которых допускает свободное прохождение спиц, прикреплённых к врачающемуся валу.

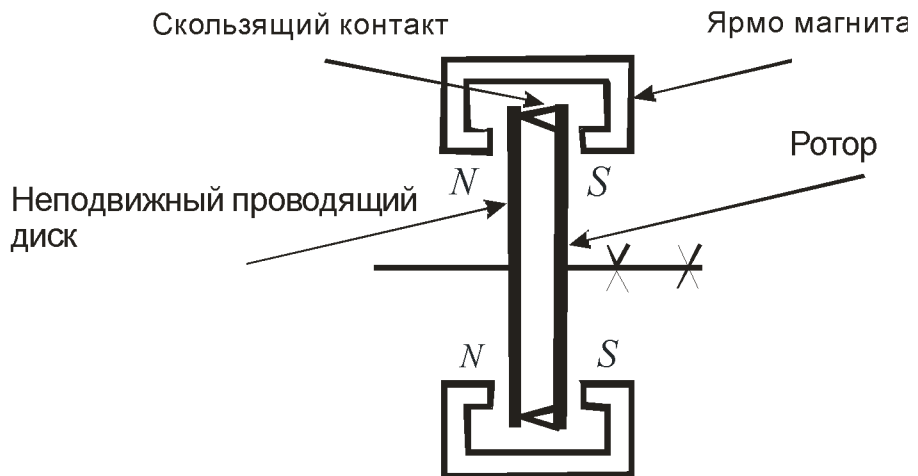


Рис. 11. Осевое сечение многополюсного униполярного генератора.

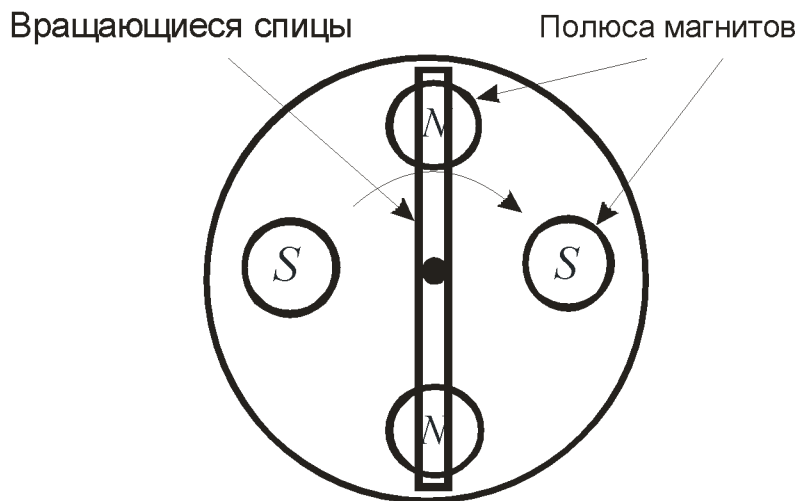


Рис. 12. Поперечный разрез генератора.

Поперечный разрез генератора показан на рис. 12. При вращении вала, к которому прикреплены спицы, они последовательно проходят между плюсами магнитов, при этом в них индуцируется э.д.с., знак которой зависит от направления магнитного поля. Полюсы магнитов расположены так, что направление магнитного поля противоположны у каждого рядом стоящего магнита. Количество магнитов равно удвоенному числу спиц. Такое расположение полюсов магнитов даёт возможность при вращении вала генерировать в спицах знакопеременную э.д.с.. При этом переменное напряжение возникает между неподвижным диском и осью ротора, которое при помощи трансформатора, может быть увеличено до любого значения. На рисунке показана конструкция, состоящая из двух спиц и четырёх магнитов. Чем больше количество магнитов, установленных по периметру диска, тем будет больше количество циклов переменного напряжения, приходящихся на один оборот вала. Предлагаемая конструкция очень проста, и допускает изготовление в любой мастерской, имеющей станочное оборудование. Ремонт генератора и замена скользящих контактов также труда не представляет, т.к. все элементы генератора легко доступны.

Список литературы.

1. Weber W. Elektrodynamische Maassbestimungen über ein allgemeines Grundgesetz der elektrischen Wirkung. Abh. Bergund. K. sächs. Ges. Wiss. (Lpz), 211-378 (Werke, Vol. 3, 25-214, Springer, Berlin, 1893), 1846.
2. Weber W. Annln. Phys., Chem., 73, 193-240, 1848. (Werke, Vol. 3, 215 p., Springer, Berlin, 1893).
3. Clausius R. Ableitung eines neun elektrodynamischen Grundgesetzes. J.reine angew. Math. **82**, 85-130, 1877.
4. Lorberg H. Über das Grundgesetz der elektrodynamik. Annln. Phys. Chem., **8**, 599-607, 1878.
5. Менде Ф. Ф. К вопросу об уточнении уравнений электромагнитной индукции. - Харьков, депонирована в ВИНИТИ, №774-В88 Деп., 1988.-32с.
6. Менде Ф. Ф. Существуют ли ошибки в современной физике. Харьков, Константа, 2003.- 72 с.
7. Mende F. F. On refinement of certain laws of classical electrodynamics, arXiv, physics/0402084.
8. Менде Ф. Ф. Великие заблуждения и ошибки физиков XIX-XX столетий. Революция в современной физике. Харьков, НТМТ, 2010, – 176 с.
9. Фейнман Р., Лайтон Р., Сэндс М. Фейнмановские лекции по физике. М: Мир, 1977.
10. Дж. Джексон, Классическая электродинамика, Мир, Москва, 1965, 702
11. Менде Ф. Ф., Спицын А. И. Поверхностный импеданс сверхпроводников. Киев, Наукова думка, 1985.- 240 с.